



Instituto Nacional de Pesquisas Espaciais

Prova de Física

Processo de Admissão para o Programa de Pós-Graduação em Astrofísica do INPE

06/12/2022

Duração: 4 horas

Nome: _____

Instruções para realização do exame:

- a) a prova é individual, sem qualquer consulta;
- b) não é permitido o uso de telefones celulares;
- c) é permitido o uso de calculadora científica, desde que não seja um aplicativo de celular;
- d) a prova poderá ser feita a lápis, mas **as respostas finais devem ser apresentadas em caneta;**
- e) **escreva seu nome em cada folha de prova** e use somente um lado da folha de respostas;
- f) **resolva uma questão por folha e numere as folhas**, informando o total de folhas utilizadas (ex.: no caso de 12 folhas utilizadas, ao terminar, numere as folhas em sequência 1/12, 2/12, 3/12, etc.);
- g) todas as questões valem um (1,0) ponto, incluindo a questão “bônus” (11 questões no total);
- h) se estiver fazendo a prova fora do INPE, use papel A4 e deixe margens de ~ 2 cm;**
- i) solicitamos que a prova seja enviada ao INPE por email, para os endereços eletrônicos pg.ast@inpe.br e andre.milone@inpe.br;
- j) os originais devem ser enviados pelo correio, aos cuidados de André Milone, para o endereço abaixo.

INPE - Divisão de Astrofísica

Av. dos Astronautas 1758 - Prédio CEA I

Jardim da Granja - São José dos Campos, SP

Cep 12.227-010 Brasil

EXAME DE ADMISSÃO PARA A PÓS-GRADUAÇÃO
EM ASTROFÍSICA - INPE - 06/DEZ/2022

Instruções: Este exame consiste em 10 questões dissertativas. A “questão bônus” (ao final da prova) não é obrigatória, mas sua resolução (ou tentativa de resolução) contará ponto para a nota final. Anexamos o formulário do Exame Unificado de Física para eventual consulta.

(Mecânica) Questão 1:

Suponha que um carro esteja parado num sinal numa subida. Num determinado instante, o sinal abre e o carro acelera, ganhando velocidade e altura em relação ao nível inicial. Considere o carro como seu sistema de estudo e chame de t_A um instante correspondente a alguns segundos antes do sinal abrir e t_B um instante correspondente a alguns segundos depois do sinal abrir. Explique como se pode conciliar os princípios de conservação de energia e conservação de momento linear com o movimento do carro entre os instantes t_A e t_B , já que o sistema claramente ganhou energia mecânica e velocidade entre os dois instantes.

(Mecânica) Questão 2:

Imagine, hipoteticamente, que um engenheiro construa um tubo de vácuo perfeito que atravessasse a Terra ao longo de um diâmetro da mesma. Considere um modelo simples em que a Terra é perfeitamente esférica de raio $R = 6400$ km e densidade constante $\rho = 5.5 \text{ g cm}^{-3}$. Se um objeto de massa $m \ll M_T$ (onde M_T é a massa da Terra) é largado em uma das extremidades do tubo e não há qualquer atrito do objeto com as paredes do tubo, calcule: (a) o período do movimento do objeto, e (b) a velocidade do objeto ao passar pelo centro da Terra.

(Gravitação) Questão 3:

Um exoplaneta, A , possui uma lua, B (ver Fig. 1-(a)).

(a) Haverá uma distância x sobre a reta AB (no ponto P) em que a aceleração gravitacional gerada por A é a mesma gerada por B . Escreva uma expressão para x em termos das variáveis do problema. Dado: massa de A é 9 vezes a massa de B .

(b) Considere o caso em que o exoplaneta A seja na verdade um planeta artificial criado por uma civilização alienígena altamente avançada, sendo uma esfera de raio R , de densidade uniforme, mas possuindo uma cavidade esférica vazia, tal como na Fig. 1-(b). A cavidade possui raio $R/2$. Calcule a força gravitacional do planeta artificial sobre a lua B , em função da massa de B , R e a , assumindo que a cavidade se mostra sempre voltada para (mais próxima de) B . Considere os mesmos valores de massa do item (a), isto é, o planeta artificial, se não possuísse a cavidade, teria uma massa 9 vezes a massa de B .

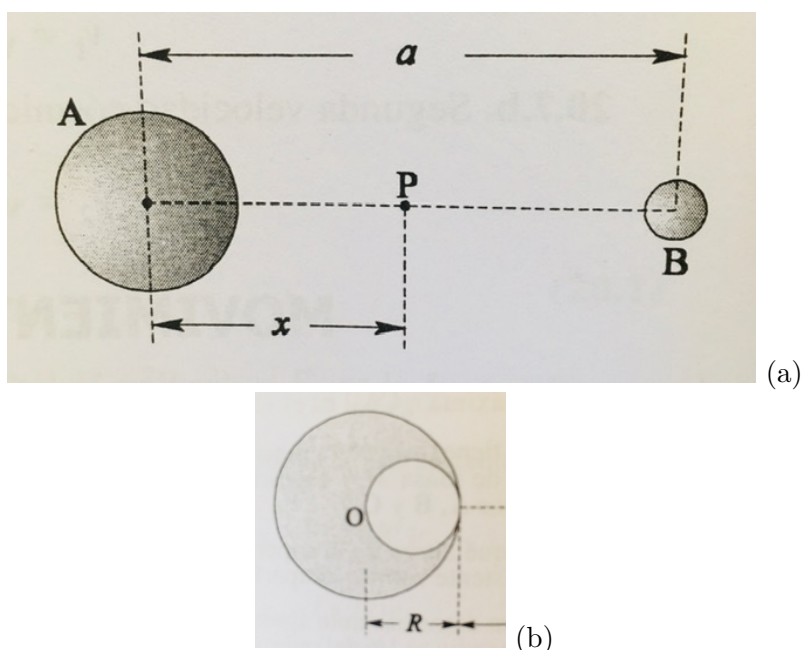


Figura 1: Questão 3.

(Hidrodinâmica) Questão 4:

Um tubo de seção transversal A_1 possui um trecho em estrangulamento (isto é, de menor seção transversal, A_2), tal como mostrado na Fig. 2. Um fluido não compressível, de densidade ρ , atravessa o tubo com velocidades v_1 e v_2 nas regiões de seções transversais A_1 e A_2 , respectivamente.

Dois manômetros, G_1 e G_2 , medem a pressão no interior do tubo nos trechos A_1 e A_2 , obtendo os valores p_1 e p_2 , respectivamente. Obtenha uma expressão para a velocidade v_1 em termos de ρ , da diferença de pressão, $p_1 - p_2$, e da razão de áreas, A_1/A_2 . *Nota:* este dispositivo para medir a velocidade de um fluido se chama “medidor de Venturi”.

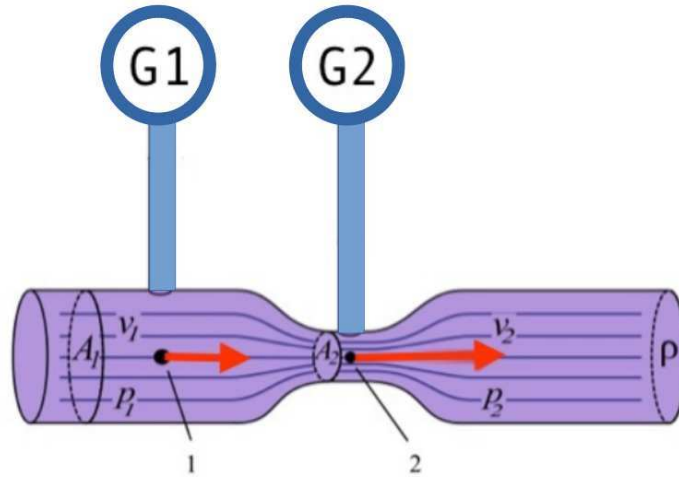


Figura 2: Questão 4.

(Eletromagnetismo) Questão 5:

As linhas de força de um campo elétrico estático, \vec{E} , têm a forma de arcos de círculos concêntricos (com centros em O), numa certa região delimitada pelo setor circular OA-OB, de ângulo \widehat{AOB} (ver Fig. 3). A forma das linhas de força na região externa a esta região não é relevante para este problema. Mostre que a razão entre as intensidades do campo elétrico, avaliadas em diferentes distâncias do centro (R e r , respectivamente), no interior do setor circular OA-OB, é dada por:

$$\frac{|\vec{E}(R)|}{|\vec{E}(r)|} \equiv \frac{E_1}{E_2} = \frac{r}{R}, \quad (1)$$

ou seja, esta razão é inversamente proporcional às respectivas distâncias ao centro O.

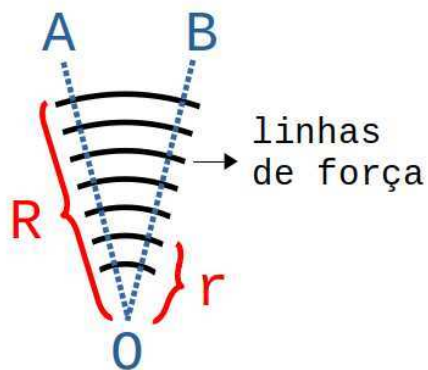


Figura 3: Questão 5.

(Eletromagnetismo) Questão 6:

Numa certa região, um campo magnético, \vec{B} , de módulo constante, rotaciona com uma velocidade angular dada pelo vetor $\vec{\omega}$, de módulo também constante (ver Fig. 4). Num intervalo de tempo dt , o campo magnético se deslocou, tal que: $d\vec{B} = \vec{B}(t+dt) - \vec{B}(t)$. Encontre uma expressão para o rotacional do campo elétrico nesta região, $\vec{\nabla} \times \vec{E}$, em função dos vetores \vec{B} e $\vec{\omega}$.

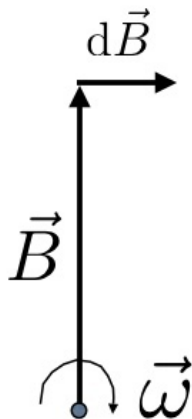


Figura 4: Questão 6.

(Termodinâmica) Questão 7:

Calcule o calor absorvido por um sistema que percorre uma trajetória circular no diagrama pressão-volume; ver Fig. 5. As unidades usadas são kPa para a pressão e cm^3 para o volume.

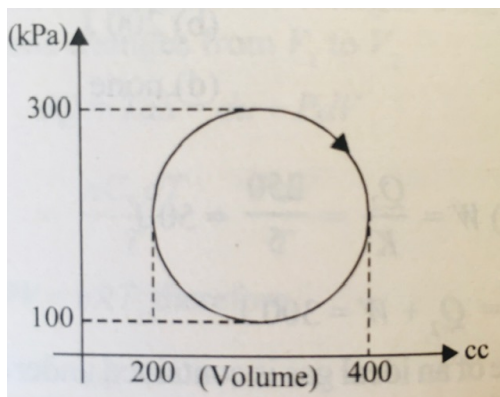


Figura 5: Questão 7.

(Ondas) Questão 8:

Três pulsos, A , B e C , de mesma amplitude, deslocam-se para a direita numa corda com uma extremidade móvel, tal como mostra a Fig. 6.

(a) Haverá ou não inversão de fase após a reflexão dos pulsos, com base na condição de contorno dada (extremidade móvel)? Explique. Descreva sequencialmente o que ocorrerá após a reflexão de cada um dos pulsos, em termos de interferências construtivas ou destrutivas.

(b) Considere agora que a extremidade da corda está fixa no poste. Haverá ou não inversão de fase? Explique.

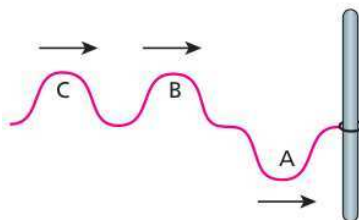


Figura 6: Questão 8.

(Física Moderna) Questão 9:

Considere a lei de Planck em termos da densidade de energia espectral:

$$u_\lambda = \frac{8\pi hc}{\lambda^5} \frac{1}{\exp(\frac{hc}{\lambda kT}) - 1}. \quad (2)$$

(a) Mostre que o máximo de u_λ pode ser obtido a partir da solução da equação transcendental dada por:

$$\exp(-x) + \frac{x}{5} - 1 = 0, \quad (3)$$

onde

$$x \equiv \frac{hc}{\lambda_{max} kT}, \quad (4)$$

sendo λ_{max} o comprimento de onda para o valor máximo de u_λ .

(b) Sugira um método para obter a solução da Eq. 3.

(Relatividade Restrita) Questão 10:

Um pequeno objeto em forma de cubo, quando observado em repouso no interior de uma nave espacial, R (considerada um referencial inercial), apresenta massa m e volume V , ver Fig. 7-(a). Este objeto é lançado no espaço profundo a partir de R , afastando-se deste referencial com uma velocidade constante, $v = 0,01c$ (1% da velocidade da luz), na direção do eixo- x , tal como medida por R ; ver Fig. 7-(b). As arestas do cubo estão alinhadas com as direções dos eixos xyz do referencial R .

(a) Determine uma expressão para a diferença de massa, $\Delta m = M - m$, entre a massa do cubo viajando no espaço sideral, M , e sua massa de repouso. Mostre que, para baixas velocidades com relação à c (como ocorre neste caso), o excesso de energia, ΔE , equivalente à essa diferença de massa, pode ser escrito como:

$$\Delta E = \Delta mc^2 \approx \frac{1}{2}mv^2. \quad (5)$$

(b) Uma segunda nave espacial, S , tem velocidade nula com relação à R , encontrando-se mais adiante no espaço, ver Fig. 7-(b,c). Um observador em S utiliza um referencial cujos eixos estão alinhados exatamente com os de R , e mede o volume do cubo. Mostre que a diferença, ΔV , entre o volume medido em R (quando o cubo se encontrava em repouso no interior da nave), e aquele medido em S , pode ser aproximada por:

$$\Delta V \approx -\frac{\Delta m}{m}V. \quad (6)$$

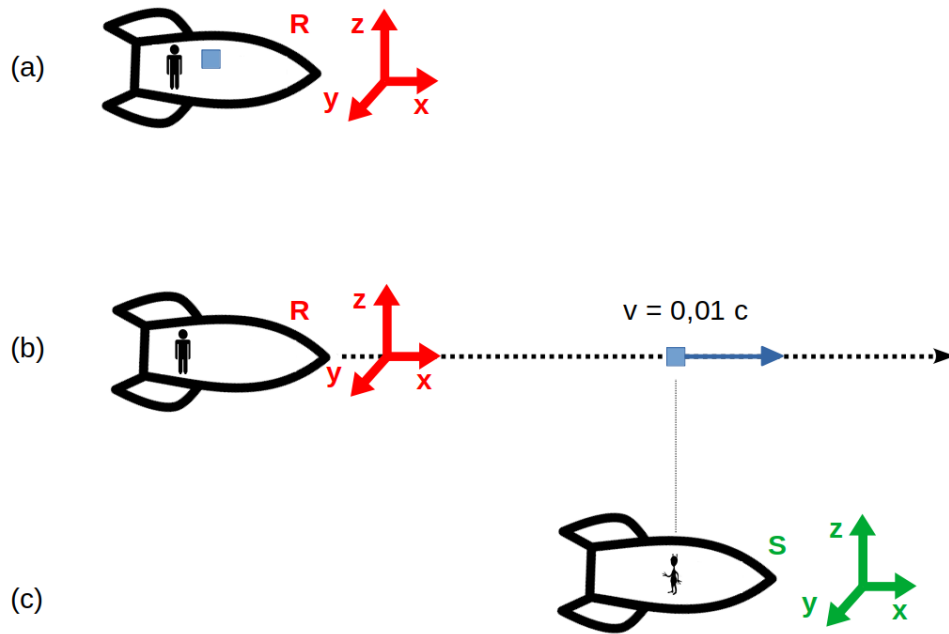


Figura 7: Questão 10.

Questão Bônus:

O filósofo e astrônomo grego Seleuco de Selêucia (190 a.C. - 150 a.C.) parece ter sido o primeiro a formular uma explicação qualitativa correta, embora simplificada, para a origem das marés. A partir do *Principia*, de Isaac Newton (1642 - 1727), foi possível tratar a teoria das marés de maneira detalhada.

Questão: Por que nas marés os oceanos sobem não só na face da Terra voltada para a Lua como também na face oposta?

Desconsidere efeitos secundários, como por exemplo, a rotação da Terra, e a presença do Sol (e qualquer efeito que ele possa causar).

Constantes físicas

Velocidade da luz no vácuo	$c = 3,00 \times 10^8 \text{ m/s}$
Constante de Planck	$h = 6,63 \times 10^{-34} \text{ J s} = 4,14 \times 10^{-15} \text{ eV s}$ $\hbar = h/2\pi = 1,06 \times 10^{-34} \text{ J s} = 6,58 \times 10^{-16} \text{ eV s}$ $hc \simeq 1240 \text{ eV nm} = 1240 \text{ MeV fm}$ $\hbar c \simeq 200 \text{ eV nm} = 200 \text{ MeV fm}$
Constante de Wien	$W = 2,898 \times 10^{-3} \text{ m K}$
Permeabilidade magnética do vácuo	$\mu_0 = 4\pi \times 10^{-7} \text{ N/A}^2 = 12,6 \times 10^{-7} \text{ N/A}^2$
Permissividade elétrica do vácuo	$\epsilon_0 = \frac{1}{\mu_0 c^2} = 8,85 \times 10^{-12} \text{ F/m}$ $\frac{1}{4\pi\epsilon_0} = 8,99 \times 10^9 \text{ Nm}^2/\text{C}^2$
Constante gravitacional	$G = 6,67 \times 10^{-11} \text{ N m}^2/\text{kg}^2$
Carga elementar	$e = 1,60 \times 10^{-19} \text{ C}$
Massa do elétron	$m_e = 9,11 \times 10^{-31} \text{ kg} = 511 \text{ keV}/c^2$
Comprimento de onda Compton	$\lambda_C = 2,43 \times 10^{-12} \text{ m}$
Massa do próton	$m_p = 1,673 \times 10^{-27} \text{ kg} = 938 \text{ MeV}/c^2$
Massa do nêutron	$m_n = 1,675 \times 10^{-27} \text{ kg} = 940 \text{ MeV}/c^2$
Massa do dêuteron	$m_d = 3,344 \times 10^{-27} \text{ kg} = 1876 \text{ MeV}/c^2$
Massa da partícula α	$m_\alpha = 6,645 \times 10^{-27} \text{ kg} = 3727 \text{ MeV}/c^2$
Constante de Rydberg	$R_H = 1,10 \times 10^7 \text{ m}^{-1}$, $hcR_H = 13,6 \text{ eV}$
Raio de Bohr	$a_0 = 5,29 \times 10^{-11} \text{ m}$
Constante de Avogadro	$N_A = 6,02 \times 10^{23} \text{ mol}^{-1}$
Constante de Boltzmann	$k_B = 1,38 \times 10^{-23} \text{ J/K} = 8,62 \times 10^{-5} \text{ eV/K}$
Constante universal dos gases	$R = 8,31 \text{ J mol}^{-1} \text{ K}^{-1}$
Constante de Stefan-Boltzmann	$\sigma = 5,67 \times 10^{-8} \text{ W m}^{-2} \text{ K}^{-4}$

Raio do Sol	=	$6,96 \times 10^8 \text{ m}$	Massa do Sol	=	$1,99 \times 10^{30} \text{ kg}$
Raio da Terra	=	$6,37 \times 10^6 \text{ m}$	Massa da Terra	=	$5,98 \times 10^{24} \text{ kg}$
Distância Sol-Terra	=	$1,50 \times 10^{11} \text{ m}$			

$$1 \text{ J} = 10^7 \text{ erg} \quad 1 \text{ eV} = 1,60 \times 10^{-19} \text{ J} \quad 1 \text{ \AA} = 10^{-10} \text{ m} \quad 1 \text{ fm} = 10^{-15} \text{ m}$$

Constantes numéricas

$\pi \simeq 3,142$	$\ln 2 \simeq 0,693$	$\cos(30^\circ) = \sin(60^\circ) = \sqrt{3}/2 \simeq 0,866$
$e \simeq 2,718$	$\ln 3 \simeq 1,099$	$\sin(30^\circ) = \cos(60^\circ) = 1/2$
$1/e \simeq 0,368$	$\ln 5 \simeq 1,609$	$e^2 \simeq 7,39$ $e^3 \simeq 20,1$ $e^4 \simeq 54,6$
$\log_{10} e \simeq 0,434$	$\ln 10 \simeq 2,303$	$e^5 \simeq 148$ $e^6 \simeq 403$

Regras de propagação de incertezas

Se a incerteza de X é σ_X (ou seja, medidas de X são dadas como $X \pm \sigma_X$), então

$$F = f(a,b) \Rightarrow \sigma_F = \sqrt{\left(\frac{\partial f}{\partial a}\right)^2 \sigma_a^2 + \left(\frac{\partial f}{\partial b}\right)^2 \sigma_b^2}$$

$$S = a + b, D = a - b \Rightarrow \sigma_S = \sigma_D = \sqrt{\sigma_a^2 + \sigma_b^2}$$

$$P = ab, Q = \frac{a}{b} \Rightarrow \frac{\sigma_P}{P} = \frac{\sigma_Q}{Q} = \sqrt{\left(\frac{\sigma_a}{a}\right)^2 + \left(\frac{\sigma_b}{b}\right)^2}$$

Mecânica Clássica

$$\mathbf{L} = m\mathbf{r} \times \mathbf{v} = \mathbf{r} \times \mathbf{p}$$

$$\mathbf{N} = \mathbf{r} \times \mathbf{F} = \frac{d\mathbf{L}}{dt}$$

$$\mathbf{r} = r\hat{e}_r \quad \mathbf{v} = \dot{r}\hat{e}_r + r\dot{\theta}\hat{e}_\theta \quad \mathbf{a} = (\ddot{r} - r\dot{\theta}^2)\hat{e}_r + (r\ddot{\theta} + 2\dot{r}\dot{\theta})\hat{e}_\theta$$

$$\mathbf{r} = \rho\hat{e}_\rho + z\hat{e}_z \quad \mathbf{v} = \dot{\rho}\hat{e}_\rho + \rho\dot{\varphi}\hat{e}_\varphi + \dot{z}\hat{e}_z \quad \mathbf{a} = (\ddot{\rho} - \rho\dot{\varphi}^2)\hat{e}_\rho + (\rho\ddot{\varphi} + 2\dot{\rho}\dot{\varphi})\hat{e}_\varphi + \ddot{z}\hat{e}_z$$

$$\mathbf{r} = r\hat{e}_r \quad \mathbf{v} = \dot{r}\hat{e}_r + r\dot{\theta}\hat{e}_\theta + r\dot{\varphi}\sin\theta\hat{e}_\varphi \quad \mathbf{a} = (\ddot{r} - r\dot{\theta}^2 - r\dot{\varphi}^2\sin^2\theta)\hat{e}_r + (r\ddot{\theta} + 2\dot{r}\dot{\theta} - r\dot{\varphi}^2\sin\theta\cos\theta)\hat{e}_\theta + (r\ddot{\varphi}\sin\theta + 2\dot{r}\dot{\varphi}\sin\theta + 2r\dot{\theta}\dot{\varphi}\cos\theta)\hat{e}_\varphi$$

$$\frac{d^2u}{d\theta^2} + u = -\frac{m}{L^2u^2}F(1/u), \quad u = \frac{1}{r}; \quad \left(\frac{du}{d\theta}\right)^2 + u^2 = \frac{2m}{L^2}[E - V(1/u)]$$

$$\frac{d}{dt}\left(\frac{\partial L}{\partial \dot{q}_k}\right) - \frac{\partial L}{\partial q_k} = 0, \quad L = T - V \quad \frac{d}{dt}\left(\frac{\partial T}{\partial \dot{q}_k}\right) - \frac{\partial T}{\partial q_k} = Q_k \quad p_k = \frac{\partial L}{\partial \dot{q}_k}$$

$$Q_k = \sum_{i=1}^N F_{ix} \frac{\partial x_i}{\partial q_k} + F_{iy} \frac{\partial y_i}{\partial q_k} + F_{iz} \frac{\partial z_i}{\partial q_k} \quad Q_k = -\frac{\partial V}{\partial q_k}$$

$$\left(\frac{d^2\mathbf{r}}{dt^2}\right)_{\text{fixo}} = \left(\frac{d^2\mathbf{r}}{dt^2}\right)_{\text{rotação}} + 2\boldsymbol{\omega} \times \left(\frac{d\mathbf{r}}{dt}\right)_{\text{rotação}} + \boldsymbol{\omega} \times (\boldsymbol{\omega} \times \mathbf{r}) + \dot{\boldsymbol{\omega}} \times \mathbf{r}$$

$$H = \sum_{k=1}^f p_k \dot{q}_k - L; \quad \dot{q}_k = \frac{\partial H}{\partial p_k}; \quad \dot{p}_k = -\frac{\partial H}{\partial q_k}; \quad \frac{\partial H}{\partial t} = -\frac{\partial L}{\partial t}$$

$$E = T + V = \frac{1}{2}m|\mathbf{v}|^2 + V(\mathbf{r}) \quad \mathbf{F} = -\nabla V(\mathbf{r})$$

Eletrromagnetismo

$$\begin{aligned} \nabla \cdot \mathbf{E} &= \rho / \epsilon_0 & \nabla \cdot \mathbf{D} &= \rho_F \\ \nabla \times \mathbf{E} &= -\frac{\partial \mathbf{B}}{\partial t} & \nabla \times \mathbf{E} &= -\frac{\partial \mathbf{B}}{\partial t} \\ \nabla \cdot \mathbf{B} &= 0 & \nabla \cdot \mathbf{B} &= 0 \\ \nabla \times \mathbf{B} &= \mu_0 \mathbf{J} + \mu_0 \epsilon_0 \frac{\partial \mathbf{E}}{\partial t} & \nabla \times \mathbf{H} &= \mathbf{J}_F + \frac{\partial \mathbf{D}}{\partial t} \end{aligned}$$

$$\mathbf{F} = q(\mathbf{E} + \mathbf{v} \times \mathbf{B}) \quad d\mathbf{F} = I d\mathbf{l} \times \mathbf{B}$$

$$\begin{aligned} \nabla \cdot \mathbf{P} &= -\rho_P & \mathbf{P} \cdot \hat{\mathbf{n}} &= \sigma_P & \rho &= \rho_F + \rho_P \\ \nabla \times \mathbf{M} &= \mathbf{J}_M & \mathbf{M} \times \hat{\mathbf{n}} &= \mathbf{K}_M & \mathbf{J} &= \mathbf{J}_F + \mathbf{J}_M + \frac{\partial \mathbf{P}}{\partial t} \\ \mathbf{D} &= \epsilon_0 \mathbf{E} + \mathbf{P} = \epsilon \mathbf{E} & \mathbf{B} &= \mu_0 (\mathbf{H} + \mathbf{M}) = \mu \mathbf{H} \end{aligned}$$

$$\mathbf{E} = \frac{q}{4\pi\epsilon_0} \frac{\hat{\mathbf{e}}_r}{r^2} \quad V = \frac{q}{4\pi\epsilon_0} \frac{1}{r} \quad \mathbf{E} = -\nabla V \quad V = -\int \mathbf{E} \cdot d\mathbf{l}$$

$$\mathbf{F}_{2 \rightarrow 1} = \frac{q_1 q_2}{4\pi\epsilon_0} \frac{(\mathbf{r}_1 - \mathbf{r}_2)}{|\mathbf{r}_1 - \mathbf{r}_2|^3} \quad U_{12} = \frac{1}{4\pi\epsilon_0} \frac{q_1 q_2}{|\mathbf{r}_1 - \mathbf{r}_2|}$$

$$V(r, \theta) = \sum_{l=0}^{\infty} \left[A_l r^l + \frac{B_l}{r^{l+1}} \right] P_l(\cos \theta) \quad \mathbf{B}(\mathbf{r}) = \frac{\mu_0}{4\pi} \int \frac{\mathbf{J}(\mathbf{r}') \times (\mathbf{r} - \mathbf{r}')}{|\mathbf{r} - \mathbf{r}'|^3} dV'$$

$$\mathbf{B} = \nabla \times \mathbf{A} \quad \mathbf{A}(\mathbf{r}) = \frac{\mu_0}{4\pi} \int \frac{\mathbf{J}(\mathbf{r}') dV'}{|\mathbf{r} - \mathbf{r}'|}$$

$$u = \frac{\epsilon_0}{2} \mathbf{E} \cdot \mathbf{E} + \frac{1}{2\mu_0} \mathbf{B} \cdot \mathbf{B} \quad \mathbf{S} = \frac{1}{\mu_0} \mathbf{E} \times \mathbf{B} \quad I = I_0 \cos^2 \theta \quad (\text{lei de Malus})$$

$$Q = CV \quad Q(t) = Q(0)e^{-t/RC} \quad (\text{carga no circuito RC ao descarregar})$$

Relatividade

$$\gamma = \frac{1}{\sqrt{1 - V^2/c^2}} \quad x' = \gamma(x - Vt) \quad t' = \gamma(t - Vx/c^2)$$

$$v'_x = \frac{v_x - V}{1 - Vv_x/c^2} \quad v'_y = \frac{v_y}{\gamma(1 - Vv_x/c^2)} \quad v'_z = \frac{v_z}{\gamma(1 - Vv_x/c^2)}$$

$$E = \gamma m_0 c^2 \quad \mathbf{p} = \gamma m_0 \mathbf{V} \quad E = \sqrt{(pc)^2 + (m_0 c^2)^2}$$

Mecânica Quântica

$$i\hbar \frac{\partial \Psi(x,t)}{\partial t} = \frac{-\hbar^2}{2m} \frac{\partial^2 \Psi(x,t)}{\partial x^2} + V(x)\Psi(x,t)$$

$$\frac{-\hbar^2}{2m} \frac{\partial^2 \psi(x)}{\partial x^2} + V(x)\psi(x) = E\psi(x)$$

$$p_x = \frac{\hbar}{i} \frac{\partial}{\partial x}$$

$$[x, p_x] = i\hbar$$

$$\hat{a} = \sqrt{\frac{m\omega}{2\hbar}} \left(\hat{x} + i \frac{\hat{p}}{m\omega} \right)$$

$$\hat{a}|n\rangle = \sqrt{n}|n-1\rangle, \quad \hat{a}^\dagger|n\rangle = \sqrt{n+1}|n+1\rangle$$

$$L_\pm = L_x \pm iL_y$$

$$L_\pm Y_{\ell m}(\theta, \varphi) = \hbar \sqrt{l(l+1) - m(m \pm 1)} Y_{\ell m \pm 1}(\theta, \varphi)$$

$$L_z = x p_y - y p_x$$

$$L_z = \frac{\hbar}{i} \frac{\partial}{\partial \varphi}, \quad [L_x, L_y] = i\hbar L_z$$

$$E_n^{(1)} = \langle n | \delta H | n \rangle$$

$$E_n^{(2)} = \sum_{m \neq n} \frac{|\langle m | \delta H | n \rangle|^2}{E_n^{(0)} - E_m^{(0)}}, \quad \phi_n^{(1)} = \sum_{m \neq n} \frac{\langle m | \delta H | n \rangle}{E_n^{(0)} - E_m^{(0)}} \phi_m^{(0)}$$

$$\hat{S} = \frac{\hbar}{2} \vec{\sigma}$$

$$\sigma_x = \begin{pmatrix} 0 & 1 \\ 1 & 0 \end{pmatrix}, \quad \sigma_y = \begin{pmatrix} 0 & -i \\ i & 0 \end{pmatrix}, \quad \sigma_z = \begin{pmatrix} 1 & 0 \\ 0 & -1 \end{pmatrix}$$

$$\bar{\psi}(\vec{p}) = \frac{1}{(2\pi\hbar)^{3/2}} \int d^3r e^{-i\vec{p}\cdot\vec{r}/\hbar} \psi(\vec{r})$$

$$\psi(\vec{r}) = \frac{1}{(2\pi\hbar)^{3/2}} \int d^3p e^{i\vec{p}\cdot\vec{r}/\hbar} \bar{\psi}(\vec{p})$$

$$e^{\hat{A}} \equiv \sum_{n=0}^{+\infty} \frac{\hat{A}^n}{n!}$$

Física Moderna

$$p = \frac{h}{\lambda} \quad E = h\nu = \frac{hc}{\lambda}$$

$$E_n = -\frac{Z^2}{n^2} \frac{m_e e^4}{(4\pi\epsilon_0)^2 2\hbar^2} = -\frac{Z^2}{n^2} hcR_H = -Z^2 \frac{13,6}{n^2} \text{eV}$$

$$L = mvr = n\hbar \quad a_0 = \frac{4\pi\epsilon_0 \hbar^2}{m_e e^2} \quad R_T = \sigma T^4 \quad \lambda_{\max} T = W$$

$$\lambda' - \lambda = \frac{h}{m_0 c} (1 - \cos \theta) \quad n\lambda = 2d \sin \theta_n \quad \Delta x \Delta p \geq \hbar/2 \quad \Delta E \Delta t \geq \hbar/2$$

$$f = f_0 \sqrt{\frac{1 - V/c}{1 + V/c}} \quad (\text{fonte e detector se afastando})$$

Termodinâmica e Mecânica Estatística

$$dU = dQ - dW \qquad dU = TdS - pdV + \mu dN$$

$$dF = -SdT - pdV + \mu dN \qquad dH = TdS + Vdp + \mu dN$$

$$dG = -SdT + Vdp + \mu dN \qquad d\Phi = -SdT - pdV - Nd\mu$$

$$F = U - TS \qquad G = F + pV$$

$$H = U + pV \qquad \Phi = F - \mu N$$

$$\left(\frac{\partial T}{\partial V}\right)_{S,N} = -\left(\frac{\partial p}{\partial S}\right)_{V,N} \qquad \left(\frac{\partial S}{\partial V}\right)_{T,N} = \left(\frac{\partial p}{\partial T}\right)_{V,N}$$

$$\left(\frac{\partial T}{\partial p}\right)_{S,N} = \left(\frac{\partial V}{\partial S}\right)_{p,N} \qquad \left(\frac{\partial S}{\partial p}\right)_{T,N} = -\left(\frac{\partial V}{\partial T}\right)_{p,N}$$

$$p = -\left(\frac{\partial F}{\partial V}\right)_{T,N} \qquad S = -\left(\frac{\partial F}{\partial T}\right)_{V,N}$$

$$C_V = \left(\frac{\partial U}{\partial T}\right)_{V,N} = T \left(\frac{\partial S}{\partial T}\right)_{V,N} \qquad C_p = \left(\frac{\partial H}{\partial T}\right)_{p,N} = T \left(\frac{\partial S}{\partial T}\right)_{p,N}$$

$$\text{eficiência} = |W/Q_{\text{quente}}| \qquad \text{coef. de desempenho} = |Q_{\text{frio}}/W|$$

$$\text{eficiência de Carnot} = 1 - T_{\text{frio}}/T_{\text{quente}} \qquad \text{coef. de desemp. de Carnot} = T_{\text{frio}}/(T_{\text{quente}} - T_{\text{frio}})$$

$$\text{Gás ideal: } pV = nRT, \quad U = C_V T = nc_V T,$$

$$\text{Processo adiabático: } pV^\gamma = \text{const.}, \quad \gamma = c_p/c_V = (c_V + R)/c_V$$

$$\text{condutividade térmica} = \frac{|\text{densidade de corrente de calor}|}{|\nabla T|}$$

$$S = k_B \ln[\Omega(E,V,N)] \qquad \frac{1}{T} = \left(\frac{\partial S}{\partial E}\right)_{V,N} \qquad \frac{p}{T} = \left(\frac{\partial S}{\partial V}\right)_{N,E} \qquad \frac{\mu}{T} = -\left(\frac{\partial S}{\partial N}\right)_{E,V}$$

$$Z_N = \int \frac{\prod_i d^3p_i d^3r_i}{h^{3N} N!} e^{-\beta H[\{\mathbf{p}_i, \mathbf{r}_i\}]} \qquad Z_N = \sum_n e^{-\beta E_n} \qquad \beta = 1/k_B T$$

$$F = -k_B T \ln Z_N \qquad U = -\frac{\partial}{\partial \beta} \ln Z_N \qquad S = \frac{\partial}{\partial T} (k_B T \ln Z_N) \qquad M = -\frac{\partial F}{\partial h}$$

Resultados matemáticos

$$\int_{-\infty}^{\infty} x^{2n} e^{-ax^2} dx = \frac{1 \cdot 3 \cdot 5 \cdots (2n+1)}{(2n+1)2^n a^n} \left(\frac{\pi}{a}\right)^{\frac{1}{2}} \quad (n = 0, 1, 2, \dots)$$

$$\sum_{k=0}^{\infty} x^k = \frac{1}{1-x} \quad (|x| < 1) \quad e^{i\theta} = \cos \theta + i \sin \theta$$

$$\int \frac{dx}{(a^2 + x^2)^{1/2}} = \ln \left(x + \sqrt{x^2 + a^2} \right) \quad \ln N! \cong N \ln N - N$$

$$\int \frac{dx}{(a^2 + x^2)^{3/2}} = \frac{x}{(a^2 \sqrt{x^2 + a^2})} \quad \int \frac{x^2 dx}{(a^2 + x^2)^{3/2}} = \ln \left(x + \sqrt{x^2 + a^2} \right) - \frac{x}{\sqrt{x^2 + a^2}}$$

$$\int \frac{dx}{1-x^2} = \frac{1}{2} \ln \left(\frac{1+x}{1-x} \right) \quad \int \frac{dx}{x(x-1)} = \ln(1-1/x)$$

$$\int \frac{1}{a^2 + x^2} dx = \frac{1}{a} \arctan \frac{x}{a} \quad \int \frac{x}{a^2 + x^2} dx = \frac{1}{2} \ln(a^2 + x^2)$$

$$\int_0^{\infty} \frac{z^{x-1}}{e^z + 1} dz = (1 - 2^{1-x}) \Gamma(x) \zeta(x) \quad (x > 0)$$

$$\int_0^{\infty} \frac{z^{x-1}}{e^z - 1} dz = \Gamma(x) \zeta(x) \quad (x > 1)$$

$$\Gamma(2) = 1 \quad \Gamma(3) = 2 \quad \Gamma(4) = 6 \quad \Gamma(5) = 24 \quad \Gamma(n) = (n-1)! \\ \zeta(2) = \frac{\pi^2}{6} \cong 1,645 \quad \zeta(3) \cong 1,202 \quad \zeta(4) = \frac{\pi^4}{90} \cong 1,082 \quad \zeta(5) \cong 1,037$$

$$\int_{-\pi}^{\pi} \sin(mx) \sin(nx) dx = \pi \delta_{m,n} \quad \int_{-\pi}^{\pi} \cos(mx) \cos(nx) dx = \pi \delta_{m,n}$$

$$dx dy dz = \rho d\rho d\phi dz \quad dx dy dz = r^2 dr \sin \theta d\theta d\phi$$

$$Y_{0,0} = \sqrt{\frac{1}{4\pi}} \quad Y_{1,0} = \sqrt{\frac{3}{4\pi}} \cos \theta \quad Y_{1,\pm 1} = \mp \sqrt{\frac{3}{8\pi}} \sin \theta e^{\pm i\phi}$$

$$Y_{2,0} = \sqrt{\frac{5}{16\pi}} (3 \cos^2 \theta - 1) \quad Y_{2,\pm 1} = \mp \sqrt{\frac{15}{8\pi}} \sin \theta \cos \theta e^{\pm i\phi} \quad Y_{2,\pm 2} = \mp \sqrt{\frac{15}{32\pi}} \sin^2 \theta e^{\pm 2i\phi}$$

$$P_0(x) = 1 \quad P_1(x) = x \quad P_2(x) = (3x^2 - 1)/2$$

$$\begin{aligned}
\nabla \cdot (\nabla \times \mathbf{V}) &= 0 & \nabla \times \nabla f &= 0 \\
\nabla \times (\nabla \times \mathbf{V}) &= \nabla(\nabla \cdot \mathbf{V}) - \nabla^2 \mathbf{V} \\
\oint \mathbf{A} \cdot d\mathbf{S} &= \int (\nabla \cdot \mathbf{A}) dV & \oint \mathbf{A} \cdot d\mathbf{l} &= \int (\nabla \times \mathbf{A}) \cdot d\mathbf{S}
\end{aligned}$$

Coordenadas cartesianas

$$\begin{aligned}
\nabla \cdot \mathbf{A} &= \frac{\partial A_x}{\partial x} + \frac{\partial A_y}{\partial y} + \frac{\partial A_z}{\partial z} \\
\nabla \times \mathbf{A} &= \left(\frac{\partial A_z}{\partial y} - \frac{\partial A_y}{\partial z} \right) \hat{e}_x + \left(\frac{\partial A_x}{\partial z} - \frac{\partial A_z}{\partial x} \right) \hat{e}_y + \left(\frac{\partial A_y}{\partial x} - \frac{\partial A_x}{\partial y} \right) \hat{e}_z \\
\nabla f &= \frac{\partial f}{\partial x} \hat{e}_x + \frac{\partial f}{\partial y} \hat{e}_y + \frac{\partial f}{\partial z} \hat{e}_z & \nabla^2 f &= \frac{\partial^2 f}{\partial x^2} + \frac{\partial^2 f}{\partial y^2} + \frac{\partial^2 f}{\partial z^2}
\end{aligned}$$

Coordenadas cilíndricas

$$\begin{aligned}
\nabla \cdot \mathbf{A} &= \frac{1}{\rho} \frac{\partial(\rho A_\rho)}{\partial \rho} + \frac{1}{\rho} \frac{\partial A_\varphi}{\partial \varphi} + \frac{\partial A_z}{\partial z} \\
\nabla \times \mathbf{A} &= \left[\frac{1}{\rho} \frac{\partial A_z}{\partial \varphi} - \frac{\partial A_\varphi}{\partial z} \right] \hat{e}_\rho + \left[\frac{\partial A_\rho}{\partial z} - \frac{\partial A_z}{\partial \rho} \right] \hat{e}_\varphi + \left[\frac{1}{\rho} \frac{\partial(\rho A_\varphi)}{\partial \rho} - \frac{1}{\rho} \frac{\partial A_\rho}{\partial \varphi} \right] \hat{e}_z \\
\nabla f &= \frac{\partial f}{\partial \rho} \hat{e}_\rho + \frac{1}{\rho} \frac{\partial f}{\partial \varphi} \hat{e}_\varphi + \frac{\partial f}{\partial z} \hat{e}_z & \nabla^2 f &= \frac{1}{\rho} \frac{\partial}{\partial \rho} \left(\rho \frac{\partial f}{\partial \rho} \right) + \frac{1}{\rho^2} \frac{\partial^2 f}{\partial \varphi^2} + \frac{\partial^2 f}{\partial z^2}
\end{aligned}$$

Coordenadas esféricas

$$\begin{aligned}
\nabla \cdot \mathbf{A} &= \frac{1}{r^2} \frac{\partial(r^2 A_r)}{\partial r} + \frac{1}{r \sin \theta} \frac{\partial(\sin \theta A_\theta)}{\partial \theta} + \frac{1}{r \sin \theta} \frac{\partial(A_\varphi)}{\partial \varphi} \\
\nabla \times \mathbf{A} &= \left[\frac{1}{r \sin \theta} \frac{\partial(\sin \theta A_\varphi)}{\partial \theta} - \frac{1}{r \sin \theta} \frac{\partial A_\theta}{\partial \varphi} \right] \hat{e}_r \\
&\quad + \left[\frac{1}{r \sin \theta} \frac{\partial A_r}{\partial \varphi} - \frac{1}{r} \frac{\partial(r A_\varphi)}{\partial r} \right] \hat{e}_\theta + \left[\frac{1}{r} \frac{\partial(r A_\theta)}{\partial r} - \frac{1}{r} \frac{\partial A_r}{\partial \theta} \right] \hat{e}_\varphi \\
\nabla f &= \frac{\partial f}{\partial r} \hat{e}_r + \frac{1}{r} \frac{\partial f}{\partial \theta} \hat{e}_\theta + \frac{1}{r \sin \theta} \frac{\partial f}{\partial \varphi} \hat{e}_\varphi \\
\nabla^2 f &= \frac{1}{r^2} \frac{\partial}{\partial r} \left(r^2 \frac{\partial f}{\partial r} \right) + \frac{1}{r^2 \sin \theta} \frac{\partial}{\partial \theta} \left(\sin \theta \frac{\partial f}{\partial \theta} \right) + \frac{1}{r^2 \sin^2 \theta} \frac{\partial^2 f}{\partial \varphi^2}
\end{aligned}$$